

УДК 538.114.001

## ДЕФОРМАЦИЯ ФОНОННОГО СПЕКТРА СОЕДИНЕНИЯ $\text{Mo}_3\text{Si}$ ПРИ РАДИАЦИОННОЙ АМОРФИЗАЦИИ

Г. Ф. Сырых, В. Е. Архипов, Б. Н. Гощицкий,  
М. Г. Землянов, Н. А. Черноплеков

Методом нейтронной спектроскопии исследован характер изменения фононного спектра сверхпроводника  $\text{Mo}_3\text{Si}$  под действием облучения быстрыми нейtronами. Установлено увеличение плотности фононных состояний как в низкоэнергетической, так и в высокоенергетической частях спектра.

К настоящему времени выполнен значительный объем исследований влияния облучения высокоенергетическими частицами на физические свойства сверхпроводящих соединений со структурой A-15. Показано, что облучение соединений A-15 тяжелыми ионами приводит к аморфизации или переходу в другую кристаллическую структуру [1]. Облучение этих соединений быстрыми нейtronами вызывает, как правило, разупорядочение, а в случае соединений  $\text{Mo}_3\text{Si}$  и  $\text{Mo}_3\text{Ge}$  — аморфизацию [2]. В соединениях на основе Nb и V, обладающих в исходном состоянии относительно высокими температурами перехода в сверхпроводящее состояние ( $T_c \sim 10 - 18$  К), как разупорядочение, так и аморфизация влекут за собой падение  $T_c$  ниже 4 К. В соединениях же  $\text{Mo}_3\text{Si}$  и  $\text{Mo}_3\text{Ge}$  разупорядочение и аморфизация, создаваемые как высокоскоростной закалкой [3], так и облучением быстрыми нейtronами вызывают рост  $T_c$  в 4—5 раз (от исходного уровня  $T_c \sim 1.5$  К). Если в случае соединений с высокими  $T_c$  в исходном состоянии вопрос о причинах деградации при радиационном разупорядочении и аморфизации, по-видимому, ясен (падение  $N(E_F)$  при размытии пика в  $N(E)$  [4]), то ситуация является более сложной в случае соединения  $\text{Mo}_3\text{Si}$ . На основании измерений температурной зависимости теплоемкости и ЯМР [5, 6] было показано, что разупорядочение и аморфизация вызывают 20—50%-й рост плотности электронных состояний на уровне Ферми  $N(E_F)$ . Из данных по теплоемкости в то же время был сделан вывод, что значительную роль в росте  $T_c$  соединения  $\text{Mo}_3\text{Si}$  играют изменения в низкочастотной части фононного спектра [5]. Высказывалась также и противоположная точка зрения, а именно, рост  $T_c$  в соединении  $\text{Mo}_3\text{Si}$  при облучении связан только с размытием тонкой структуры электронного спектра и результирующим ростом  $N(E_F)$  [7]. Поскольку прямые данные по изменению фононного спектра в облученном соединении  $\text{Mo}_3\text{Si}$  (как, впрочем, и в других облученных сверхпроводящих сплавах и соединениях) отсутствовали, выбор между двумя указанными предположениями был затруднен.

Настоящая работа предпринята с целью выяснения методом неупругого рассеяния нейtronов характера изменения фононного спектра соединения  $\text{Mo}_3\text{Si}$  при его радиационном переходе в аморфное состояние.

Измерения спектров неупругого рассеяния нейtronов проводились на времязролетном спектрометре с источником холодных нейtronов на реакторе ИР-8 ИАЭ им. И. В. Курчатова [8]. Средняя энергия падающих нейtronов  $E_0$  составляла  $\sim 4.6$  мэВ,  $\Delta E_0/E_0 \approx 10\%$ . Спектры рассеян-

ных на образце нейтронов регистрировались под углами 30, 45, 60, 75 и 90°. Температура образца составляла 300 К.

Исходный образец  $\text{Mo}_3\text{Si}$  получен сплавлением в печи с нерасходуемым электродом. Затем образец гомогенизирован при 1000 °C в течение 100 часов в динамическом вакууме не хуже  $10^{-5}$  мм рт. ст. Согласно рентгено- и нейtronографическим данным, образец на 95 % состоял из фазы A-15 с  $a_0=4.892$  Å и степенью дальнего порядка  $S=0.86 \pm 0.02$ . Измерения неупругого рассеяния нейтронов были проведены как на исходном образце, так и после облучения его быстрыми нейтронами ( $E > 1$  МэВ) флюенсом  $3 \cdot 10^{20}$  см<sup>-2</sup> при  $T=70$  °C. В результате облучения образец практически полностью перешел в аморфное состояние — на рентгено- и нейtronограммах следов структурных рефлексов не наблюдалось. Методика приготовления, облучения и аттестации образцов детально описана в [1].

Как известно [8, 9], дважды дифференциальное сечение рассеяния нейтронов для немоноатомных решеток с базисом в некогерентном приближении<sup>1</sup> имеет вид

$$\frac{d^2\sigma}{dQdE} = \frac{K}{8\pi K_0} \frac{x^2}{E} \frac{g(E)}{\exp(-E/kT) - 1} \sum_{\mu} c_{\mu} \exp(-2W_{\mu}) \frac{\sigma_{\mu}}{M_{\mu}} |\mathbf{e}_{\mu}(E)|^2 = \\ = \frac{K}{8\pi K_0} \frac{x^2}{E} \frac{1}{\exp(-E/kT) - 1} \tilde{G}(E), \quad (1)$$

где  $\sigma_{\mu}$  и  $M_{\mu}$  — сечения рассеяния и массы ядер элементов, входящих в состав образца;  $c_{\mu}$  — их концентрация;  $\mu$  — индекс подрешетки;

$$\tilde{G}(E) = \sum_{\mu} \left[ \frac{\sigma_{\mu}}{M_{\mu}} F_{\mu}(E) \right] / \sum_{\mu} \frac{\sigma_{\mu}}{M_{\mu}}$$

— обобщенная функция распределения частот,  $F_{\mu}(E)$  — фононная плотность состояний. Остальные символы имеют их обычный смысл.

При условии  $\sigma_{\mu}/M_{\mu} = \text{const}$  с точностью до фактора Дебая—Валлера может быть восстановлена плотность фононных состояний образца. В нашем случае отношение весовых множителей  $\frac{\sigma_{\text{Mo}}}{M_{\text{Mo}}} : \frac{\sigma_{\text{Si}}}{M_{\text{Si}}}$  составляет 1:1.4.

На основании этого можно предполагать, что функция  $\tilde{G}(E)$  достаточно правильно отражает плотность колебательных состояний данного интерметаллида, не говоря уже о возможности сравнения результатов до и после облучения.

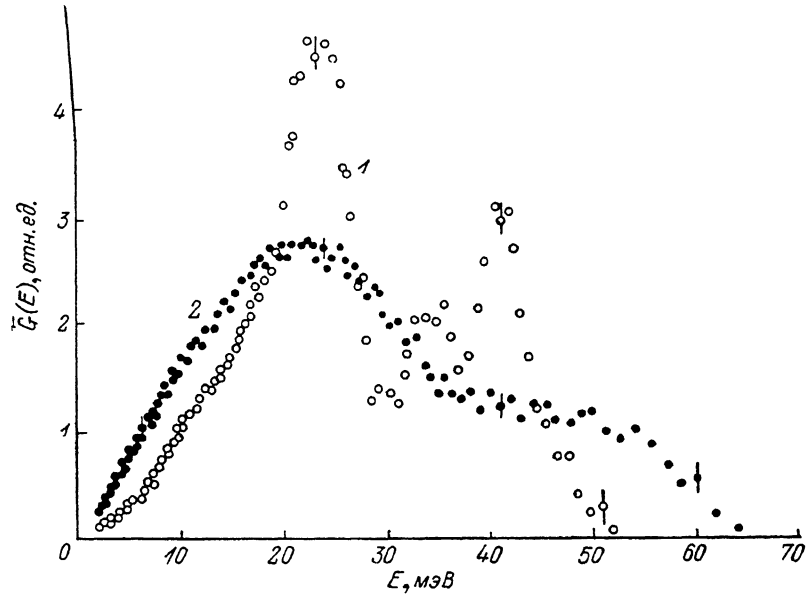
## Обсуждение полученных результатов

На рисунке представлены обобщенные плотности фононных состояний  $\tilde{G}(E)$  кристаллического образца  $\text{Mo}_3\text{Si}$  и образца, аморфизированного облучением быстрыми нейтронами.

Спектр  $\tilde{G}(E)$  кристаллического образца  $\text{Mo}_3\text{Si}$ , так же как и спектры  $\tilde{G}(E)$  других соединений  $A_3B$  ( $\text{Nb}_3\text{Al}$ ,  $\text{V}_3\text{Si}$ ) с легким элементом в позиции  $B$  [10], имеют четко выраженную акустическую и оптическую области. Отличие состоит лишь в том, что в оптической области функции  $\tilde{G}(E)$  соединения  $\text{Mo}_3\text{Si}$  проявляются два пика. Такой характер оптической полосы согласуется с измерениями кривых дисперсии фононов соединения  $\text{Mo}_3\text{Si}$ , выполненными в [11], где можно выделить две группы оптических фононных ветвей.

<sup>1</sup> Отношение объема внутри сферы, описываемой вектором переданного импульса нейтронов  $x$  к объему зоны Бриллюэна  $\text{Mo}_3\text{Si}$ , больше 100 для угла рассеяния 90°, что обеспечивает условия достаточно полного усреднения когерентных эффектов в поликристаллическом образце  $\text{Mo}_3\text{Si}$ . Экспериментальным подтверждением достаточного усреднения служат наблюдаемость подобия нейтронных спектров в диапазоне углов 30–90°.

Спектр  $\tilde{G}(E)$  образца, аморфизированного облучением, претерпел значительные изменения. Четкие особенности исходного спектра  $\tilde{G}(E)$  сгладились, что характерно для спектров  $\tilde{G}(E)$  аморфных металлических сплавов, полученных другими методами [12, 13]. Наблюдается значительное увеличение плотности фононных состояний в низкоэнергетической области спектра. Такое поведение фононного спектра соединения  $\text{Mo}_3\text{Si}$  после облучения отмечалось в [5] на основании данных по температурной зависимости теплоемкости. Структура в оптической области спектра исчезла и произошло существенное смещение граничной энергии в сторону увеличения (от  $\sim 50$  до  $\sim 60$  мэВ).



Обобщенная плотность состояний для кристаллического  $\text{Mo}_3\text{Si}$  (1) и  $\text{Mo}_3\text{Si}[\text{Mo}_3\text{Si}_2]$ , аморфизованного облучением (2).

В [5] был проведен анализ влияния деформации фононного спектра на изменение  $T_c$  при использовании температурной зависимости теплоемкости.

Если теперь в рамках такого же подхода проанализировать влияние облучения на изменение  $T_c$  в этом соединении при использовании информации о фононных спектрах, полученной из нейтронных данных (см. таблицу), то следует отметить, что роль фононной подсистемы в увеличении  $T_c$  оказывается менее значительной. Связано это с тем, что величина  $\omega^2 = \langle \omega \rangle / \langle \omega^{-1} \rangle$ , фигурирующая в определении константы электрон-фонон-

Параметры электронной и фоновой подсистем соединения  $\text{Mo}_3\text{Si}$  в кристаллическом и аморфном состояниях по данным теплоемкости и рассеянию нейтронов

Параметр	Кристаллический		Аморфный	
	теплоемкость	нейтроны	теплоемкость	нейтроны
$T_c$ , К	1.56	—	7.15	—
$\langle \omega^{-1} \rangle$ , К	$3.49 \cdot 10^{-3}$	$3.87 \cdot 10^{-3}$	$4.38 \cdot 10^{-3}$	$4.4 \cdot 10^{-3}$
$\langle \omega \rangle$ , К	321	324	284	341
$\omega_{\log}$ , К	265	210	195	163
$\langle \omega^2 \rangle^{1/2}$ , К	303	289	255	278
$\lambda$	0.43	0.43	0.72	0.78

ного взаимодействия  $\lambda$ , из-за появления высокоэнергетических фононов в облученном образце меняется не так сильно, как следует из теплоемкостных данных.

Изложенное в настоящей статье позволяет сделать следующие выводы.

1) Впервые прямым методом получена информация об изменении плотности фононных состояний соединения  $\text{Mo}_3\text{Si}$ , облученного флюенсом быстрых нейтронов  $\sim 3 \cdot 10^{20} \text{ см}^{-2}$ .

2) Характер деформации фононной подсистемы соединения  $\text{Mo}_3\text{Si}$  подобен наблюдаемому изменению фононного спектра другого соединения метал—металлоид  $\text{Ni}_2\text{B}$  [14] и полученному в аморфном состоянии методом быстрой закалки, т. е. плотность состояний низкоэнергетических колебаний значительно увеличивается, граница спектра существенно смещается в сторону больших значений.

3) Роль изменений в фононной подсистеме на увеличение  $T_c$  при радиационной аморфизации оказалась не такой существенной, как это следовало из работы [5].

#### Л и т е р а т у р а

- [1] Архипов В. Е., Воронин В. И., Гощицкий Б. Н., Сокурский Ю. Н., Шишов В. Н. ФММ, 1987, т. 63, № 4, с. 748—756.
- [2] Архипов В. Е., Карькин А. Е., Воронин В. И., Мирмельштейн А. В. ФММ, 1984, т. 57, № 5, с. 1021—1023.
- [3] Johnson W. L., Tsenei C. C., Raicher S. J., Laibovits R. B. J. Appl. Phys., 1979, vol. 50, N 6, p. 4240—4250.
- [4] Александров А. С., Елесин В. Ф., Казеко М. П. ФТТ, 1979, т. 21, № 7, с. 2062—2072.
- [5] Мирмельштейн А. В., Карькин А. Е., Архипов В. Е., Воронин В. И. ФММ, 1983, т. 55, № 1, с. 79—89.
- [6] Алексашин Б. А., Верховский С. В., Михалев К. Н., Степанов А. П., Архипов В. Е., Гощицкий Б. Н. ФММ, 1986, т. 62, № 2, с. 284—290.
- [7] Lehman M., Saeman-Jschenko G., Adrian H., Nolscher C. Physica, 1981, vol. 107B, p. 473—474.
- [8] Землянов М. Г., Головин А. Е., Миронов С. П., Сырых Г. Ф., Черноплеков Н. А., Шитиков Ю. Л. ПТЭ, 1973, № 5, с. 34—38.
- [9] Черноплеков Н. А., Землянов М. Г., Бровман Е. Г., Чечерин А. Г. ФТТ, 1963, т. 5, № 1, с. 112—117.
- [10] Schweiss B. R., Renker B., Schneider E. S., Reichardt W. Superconductivity in d- and f-Band Metals. Plenum Press, 1976, p. 189—192.
- [11] Nørlund A., Zebec B. Phonons in  $\text{Mo}_3\text{Si}$ . Risø—R—461, Physics Department Annual Progress Report, 1981.
- [12] Holden T. M., Dugdale J. S., Hallam G. C., Pavuna D. J. Phys. F: Metal Phys., 1981, vol. 11, p. 1737—1748.
- [13] Землянов М. Г., Сырых Г. Ф., Черноплеков Н. А. Письма в ЖЭТФ, 1985, т. 42, № 4, с. 176—179.
- [14] Lustig N., Lannin J. S. Phys. Rev. B, 1986, vol. 34, N 10, p. 2781—2793.

Поступило в Редакцию  
26 октября 1987 г.